

06

## **Полупроводниковая наноспираль в электрическом поле как сверхрешетка нового типа**

© О.В. Кибис, М.Е. Портной

Новосибирский государственный технический университет, Новосибирск,  
Россия

E-mail: Oleg.Kibis@nstu.ru

School of Physics, University of Exeter, Stocker Road,  
Exeter EX4 4QL, United Kingdom

*Поступило в Редакцию 6 апреля 2007 г.*

Теоретически исследованы электронные свойства полупроводниковых наноспиралей, помещенных во внешнее электрическое поле. Показано, что под действием поля наноспираль приобретает свойства сверхрешетки, параметры которой управляются этим полем. В частности, на вольт-амперной характеристике наноспиралей появляется участок отрицательной дифференциальной проводимости, что позволяет использовать наноспираль в качестве перестраиваемого генератора и усилителя высокочастотных сигналов.

PACS: 73.21.Cd, 73.21.Nb

Одним из основных элементов современной наноэлектроники являются сверхрешетки — искусственно созданные твердотельные структуры с потенциальным рельефом, период которого составляет несколько десятков межатомных расстояний обычной кристаллической решетки [1]. Брэгговская дифракция электронных волн на таком сверхпериоде приводит к существенной модификации энергетического спектра электронов (в частности, к появлению щелей в энергетическом спектре носителей заряда), что позволяет создавать наноэлектронные приборы с необычными характеристиками. В рамках существующих технологических процессов сверхрешетки создаются на основе многослойных полупроводниковых структур, параметры периодического потенциального рельефа которых определяются условиями изготовления и не могут быть изменены в процессе эксплуатации сверхрешетки. В связи с этим возникает естественное желание придумать сверхрешетки, параметрами периодического потенциала которых можно управлять с

помощью внешнего поля, что создало бы предпосылки для разработки нового класса нанoeлектронных устройств с перестраиваемыми характеристиками. В предлагаемой работе проведен теоретический анализ электронных свойств таких сверхрешеток, которые можно изготовить на основе полупроводниковых наноспиралей.

Современные технологии, разработанные в течение последних лет, позволяют изготавливать спирали нанометрового масштаба на базе гетероструктур InGaAs/GaAs и Si/SiGe [2–4]. Однако еще до появления таких спиралей *in vivo*, наноструктуры с геликоидальной симметрией уже привлекали внимание теоретиков благодаря особенностям их электронных свойств, проявляющимся, в частности, в процессах электрон-электронного, электрон-фононного и электрон-фотонного взаимодействия [5–8]. Первые теоретические исследования сверхрешеточных свойств геликоидальных наноструктур в электрическом поле были проведены в работах [9–10] и затем продолжены в [11]. Основным объектом этих предыдущих исследований выступали углеродные нанотрубки с геликоидальной (хиральной) кристаллической структурой, однако наиболее ярко интересующие нас сверхрешеточные эффекты должны проявиться именно в одномерных наноспиралах [10], к подробному анализу электронных свойств которых мы и переходим сейчас. Будем рассматривать полупроводниковую наноспираль как одномерный проводник, имеющий форму винтовой линии с радиусом  $R$  и шагом  $s$ , помещенный во внешнее электрическое поле с напряженностью  $\mathbf{E} = \mathbf{E}_\perp + \mathbf{E}_\parallel$ , где  $\mathbf{E}_\perp$  и  $\mathbf{E}_\parallel$  — компоненты поля, направленные соответственно перпендикулярно и параллельно к оси винтовой линии. Благодаря компоненте поля  $\mathbf{E}_\perp$  потенциальная энергия электрона в наноспирале будет иметь вид

$$U(x) = eE_\perp R \cos(2\pi x/l_0), \quad (1)$$

где  $e$  — заряд электрона,  $x$  — координата электрона вдоль одномерного проводника, а

$$l_0 = \sqrt{4\pi^2 R^2 + s^2}$$

есть длина одного витка винтовой линии. Очевидно, что потенциальная энергия (1) периодична относительно координаты электрона  $x$  и период этой потенциальной энергии равен длине витка винтовой линии  $l_0$ , которая существенно превышает межатомное расстояние, благодаря чему наноспираль приобретает типичные сверхрешеточные свойства.

В рамках метода эффективной массы энергетический спектр электронов в наноспирали  $\varepsilon_E$ , модифицированный внешним электрическим полем  $E$ , определяется уравнением Шредингера

$$-\frac{\hbar^2}{2m} \frac{d^2}{dx^2} \psi_E + U(x)\psi_E = \varepsilon_E \psi_E, \quad (2)$$

где  $m$  — эффективная масса электрона в наноспирали. Решением этого уравнения  $\psi_E$ , хорошо известным в математической физике, является функция Маттье [12]. Однако, несмотря на известное точное решение, записать в аналитическом виде энергетический спектр электрона  $\varepsilon_E$  как функцию от электронного волнового вектора  $k$  вдоль наноспирали не представляется возможным. Поскольку именно эта дисперсионная зависимость  $\varepsilon_E(k)$  определяет основные электрофизические характеристики сверхрешеток, то получение ее в явном виде необходимо с прикладной точки зрения и потому мы воспользуемся приближенным методом решения уравнения (2). Волновую функцию  $\psi_E$ , удовлетворяющую теореме Блоха для периодического потенциала (1), можно искать в виде ряда

$$\psi_E = e^{ikx} \sum_{n=-\infty}^{\infty} b_n(k) e^{i(2ngx)}, \quad (3)$$

где  $g = \pi/l_0$  есть половина ширины сверхрешеточной зоны Бриллюэна. Принимая во внимание, что матричный элемент потенциальной энергии (1) имеет вид

$$\langle e^{ik'x} | U(x) | e^{ikx} \rangle = \pi e E_{\perp} R [\delta(k - k' + 2g) + \delta(k - k' - 2g)], \quad (4)$$

и подставляя разложение (3) в уравнение Шредингера (2), получим систему алгебраических уравнений

$$[\varepsilon_0(k + 2ng) - \varepsilon_E(k)] b_n(k) + U_E [b_{n-1}(k) + b_{n+1}(k)] = 0, \quad (5)$$

где

$$\varepsilon_0(k) = \frac{\hbar^2 k^2}{2m} \quad (6)$$

есть невозмущенная энергия электронов в наноспирали в отсутствие внешнего электрического поля, а  $U_E = eE_{\perp}R/2$  есть характерная энергия взаимодействия электронов с внешним электрическим полем. Приближенное выражение для энергетического спектра электронов в

интересующей нас нижней минизоне наноспирали можно легко получить из системы (5) в случае  $\bar{U}_E = U_E/\varepsilon_0(g) \ll 1$ . В этом приближении бесконечная цепочка алгебраических уравнений (5) сводится к системе из трех алгебраических уравнений, точное решение которой для нижней сверхрешеточной минизоны имеет вид

$$\bar{\varepsilon}_E(\bar{k}) = -(2/3)\sqrt{16 + 48\bar{k}^2 + 6\bar{U}_E^2} \cos(\alpha/3 - \pi/3) + \bar{k}^2 + 8/3, \quad (7)$$

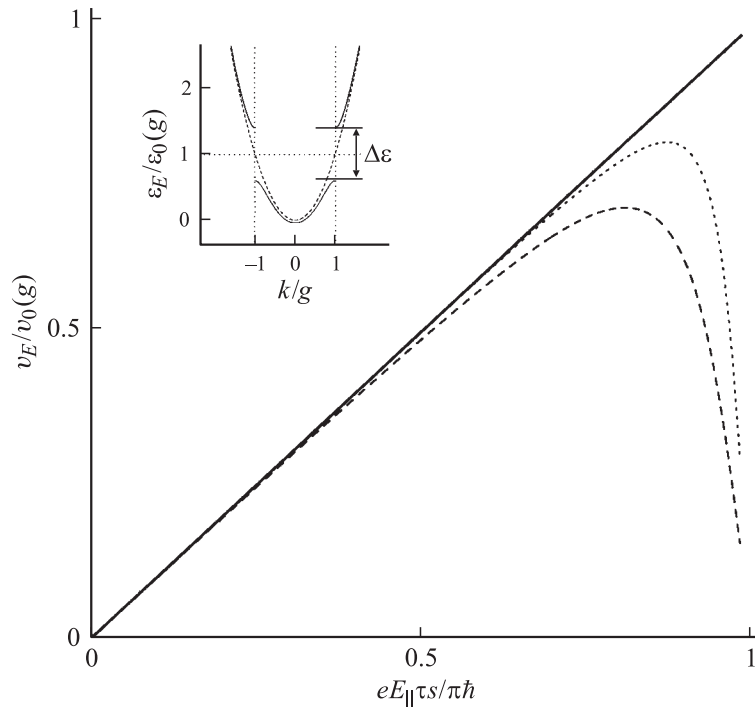
где

$$\cos \alpha = -\frac{1 - 9\bar{k}^2 + 9\bar{U}_E^2/16}{(1 + 3\bar{k}^2 + 3\bar{U}_E^2/8)^{3/2}}$$

при  $0 \leq \alpha \leq \pi$ , а безразмерные величины  $\bar{\varepsilon}_E = \varepsilon_E/\varepsilon_0(g)$ ,  $\bar{k} = k/g$ . При этом ширина энергетической щели, отделяющей нижнюю минизону от вышележащих электронных состояний, есть

$$\Delta\varepsilon = eE_{\perp}R. \quad (8)$$

Из анализа выражений (7), (8) следует, что полученный энергетический спектр обладает всеми особенностями, присущими энергетическому спектру электронов в обычных сверхрешетках (см. врезку на рисунке). Поэтому сверхрешетку на основе наноспирали можно использовать для всех тех нанoeлектронных устройств, в которых традиционно используются полупроводниковые сверхрешетки (квантовые каскадные лазеры [13], генераторы и усилители высокочастотных сигналов [14] и т.д.). При этом параметры этих электронных устройств можно перестраивать, меняя величину поперечной компоненты электрического поля  $E_{\perp}$ , поскольку зонная структура наноспирали определяется уравнениями (7), (8), зависящими от этой компоненты поля. В качестве примера сверхрешеточных свойств, приобретаемых электронным газом в наноспирали благодаря поперечному полю  $E_{\perp}$ , рассмотрим особенности электронных транспортных характеристик, проявляющиеся при наличии продольной компоненты поля  $E_{\parallel}$ . Пусть при  $E_{\parallel} = 0$  электронный газ заполняет состояния в области параболического закона дисперсии вблизи минимума нижней минизоны (7) и пусть изменение волнового вектора электронов  $\Delta k = eE_{\parallel}\tau s/\hbar l_0$  под действием продольного поля  $E_{\parallel}$  меньше ширины сверхрешеточной зоны Бриллюэна  $2\pi/l_0$ . Тогда электрический ток, возникающий в наноспирали под действием продольной компоненты электрического поля, есть  $j = env_E$ , где  $n$  — концентрация электронов в наноспирали, а дрейфовая скорость электронов



Зависимость дрейфовой скорости электронов в наноспирали от продольной компоненты электрического поля (сплошная линия — при  $\bar{U}_E = 0$ , точечная линия — при  $\bar{U}_E = 0.1$ , пунктир — при  $\bar{U}_E = 0.2$ ). На врезке к рисунку показано изменение невозмущенного параболического закона дисперсии электронов в наноспирали, изображенного пунктиром, под действием поперечного электрического поля (сплошная линия).

$v_E \approx v(\Delta k)$ . Здесь  $\tau$  — эффективное электронное время релаксации, а функция  $v(k) = (1/\hbar)(\partial \epsilon_E(k)/\partial k)$  есть групповая электронная скорость в минимуме и имеет вид

$$\bar{v}(\bar{k}) = \frac{3\bar{\epsilon}_E^2 \bar{k} - 6\bar{\epsilon}_E \bar{k}^3 + 3\bar{k}^5 - 16\bar{k}^3 + 16\bar{k} - 2\bar{U}_E^2 \bar{k}}{3\bar{\epsilon}_E^2 - 2\bar{\epsilon}_E(3\bar{k}^2 + 8) + 3\bar{k}^4 + 16 - 2\bar{U}_E^2}, \quad (9)$$

где  $\bar{\epsilon}_E$  определяется выражением (7), безразмерная величина  $\bar{v} = v/v_0(g)$ , а  $v_0 = \hbar g/m$  есть групповая скорость электрона на краю

сверхрешеточной зоны Бриллюэна в отсутствие поперечной компоненты электрического поля. Из рисунка следует, что при  $E_{\perp} \neq 0$  на вольт-амперной характеристике наноспираль  $j(E_{\parallel})$  появится участок отрицательной дифференциальной проводимости, в пределах которого дрейфовая скорость электрона  $v_E$  убывает с ростом продольной компоненты поля  $E_{\parallel}$ . Физическая причина появления такого участка обусловлена разогревом электронного газа под действием  $E_{\parallel}$ , приводящим к забросу электронов в область состояний с отрицательной эффективной массой вблизи края сверхрешеточной зоны Бриллюэна. Необходимо отметить, что дальнейшее увеличение  $E_{\parallel}$  приведет к зенеровскому туннельному пробою сверхрешеточной энергетической щели  $\Delta\epsilon$ , вследствие чего ток  $j$  вновь начнет возрастать с ростом поля  $E_{\parallel}$ . Таким образом, вольт-амперная характеристика наноспираль будет иметь так называемый  $N$ -образный вид, характерный для туннельных диодов и диодов Ганна. Поэтому полупроводниковые наноспираль [2–4] могут использоваться для тех же целей, что и упомянутые диоды, а именно для усиления и генерации высокочастотных сигналов, а также в качестве умножителей частот. Отдельного обсуждения заслуживает случай наноспираль с очень хорошей кристаллической структурой, в которой  $\Delta k \gg 2\pi/l_0$ . В этом случае в наноспираль под действием продольной компоненты поля возникнут блоховские осцилляции электронов [14], характеризующиеся частотой

$$\omega_E = eE_{\parallel}s/\hbar. \quad (10)$$

При нанометровом масштабе шага образующей наноспираль винтовой линии  $s \sim 10^{-7}$  см и сравнительно легко достижимых в эксперименте полях  $E_{\parallel} \sim 10^4$  В/см частота блоховских осцилляций  $\omega_E \sim 10^{12}$  с $^{-1}$  лежит в терагерцовой области и потому наноспираль может использоваться в качестве терагерцового генератора. Это обстоятельство представляется существенным, поскольку поиск новых эффективных методов генерации терагерцового излучения является одной из важнейших задач современной прикладной физики [15,16].

Работа выполнена при поддержке INTAS (грант 05-1000008-7801), РФФИ (грант 06-02-16005) и Royal Society (UK).

## Список литературы

- [1] *Ivchenko E.L., Pikus G.E.* Superlattices and other heterostructures. Symmetry and optical phenomena. Berlin: Springer-Verlag, 1997. 382 p.
- [2] *Prinz V.Ya., Seleznev V.A., Gutakovskiy A.K., Chehovskiy A.V., Preobrazhenskii V.V., Putiato M.A., Gavrilova T.A.* // *Physica E.* 2000. V. 6. P. 828–831.
- [3] *Prinz V.Ya., Grützmacher D., Beyer A., David C., Ketterer B., Deckardt E.* // *Nanotechnology.* 2001. V. 12. P. 399–402.
- [4] *Prinz V.Ya.* // *Phys. Stat. Sol. (b).* 2006. V. 243. N 13. P. 3333–3339.
- [5] *Kibis O.V.* // *Phys. Lett. A.* 1992. V. 166. P. 393–394; *Physica E.* 2002. V. 12. P. 741–744.
- [6] *Кибис О.В.* // *ФТТ.* 1992. Т. 34. В. 11. С. 3511–3513; *ФТП.* 1999. Т. 33. В. 10. С. 1232–1234; *ФТТ.* 2001. Т. 43. В. 12. С. 2237–2243.
- [7] *Ivchenko E.L., Spivak B.* // *Phys. Rev. B.* 2002. V. 66. P. 155404.
- [8] *Магарилл Л.И., Энтин М.В.* // *Письма ЖЭТФ.* 2003. Т. 78. В. 4. С. 249–252.
- [9] *Kibis O.V., Parfitt D.G.W., Portnoi M.E.* // *Phys. Rev. B.* 2005. V. 71. P. 035411.
- [10] *Kibis O.V., Malevannyy S.V., Huggett L., Parfitt D.G.W., Portnoi M.E.* // *Electromagnetics.* 2005. V. 25. P. 425–435.
- [11] *Волосникова О.П., Завьялов Д.В., Крючков С.В.* // *Письма в ЖТФ.* 2006. Т. 32. В. 18. С. 13–19; Т. 33. В. 5 (поправка).
- [12] *Градиштейн И.С., Рыжик И.М.* Таблицы интегралов, сумм, рядов и произведений. М.: Наука, 1971. 1108 с.
- [13] *Faist J., Capasso F., Sivco D.L., Sirtori C., Hutchinson A.L., Cho A.Y.* // *Science.* 1994. V. 264. P. 553–556.
- [14] *Esaki L., Tsu R.* // *IBM J. Res. Dev.* V. 14. P. 61–65.
- [15] *Dragoman D., Dragoman M.* // *Progress in Quantum Electronics.* 2004. V. 28. P. 1–66.
- [16] *Кибис О.В., Портной М.Е.* // *Письма в ЖТФ.* 2005. Т. 31. В. 15. С. 85–89.